

УДК 541.115

## ЭНЕРГИИ ДИССОЦИАЦИИ N–H-СВЯЗЕЙ В АРОМАТИЧЕСКИХ АМИНАХ (ОБЗОР)

© 2015 г. Е. Т. Денисов, Т. Г. Денисова

Институт проблем химической физики РАН, Черноголовка Московской обл.

E-mail: det@icp.ac.ru

Поступила в редакцию 15.06.2014 г.

В обзоре собраны и обсуждаются данные по энергиям диссоциации N–H-связей 108 ароматических аминов разнообразного строения. Дано краткое описание экспериментальных методов их определения и проведено сравнение результатов, полученных разными методами. Вычислены энергии стабилизации аминильных радикалов  $\Delta E_{\text{RS}}$  разной структуры и проведено сравнение этой энергии строения с  $\Delta E_{\text{RS}}$  фениламинильных и феноксильных радикалов. Приведены значения  $D_{\text{N}-\text{H}}$ ,  $D_{\text{O}-\text{H}}$  и  $D_{\text{S}-\text{H}}$  для серии гибридных антиоксидантов (19 соединений). Библиография – 42 ссылки.

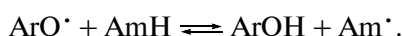
**Ключевые слова:** ароматические амины, гибридные антиоксиданты, корреляционные уравнения, энергия диссоциации N–H-связи, энергия стабилизации радикала.

**DOI:** 10.7868/S0028242115020070

Ароматические амины (AmH) широко используются в качестве антиоксидантов для стабилизации каучуков [1–4], смазочных материалов [5] и углеводородных топлив [6]. Они тормозят окисление, останавливая развитие цепного процесса по реакции с пероксильными радикалами [7–9]. Решающее влияние на эту реакцию оказывает энергия диссоциации N–H-связи амина ( $D_{\text{N}-\text{H}}$ ): чем слабее эта связь, тем активнее AmH как антиоксидант. Число аминов с известной  $D_{\text{N}-\text{H}}$ , сравнительно, невелико (30) [10, 11]. В последнее время нам удалось, опираясь на новые экспериментальные данные, существенно расширить круг аминов с известной  $D_{\text{N}-\text{H}}$  [12, 13] и оценить ее для ряда гибридных антиоксидантов [14, 15]. В настоящем обзоре приведена полная сводка данных по  $D_{\text{N}-\text{H}}$  ароматических аминов, сравниваются ее значения, полученные разными методами, проводится сравнение влияния заместителей на стабилизацию аминильных, феноксильных и бензильных радикалов разного строения.

### МЕТОДЫ ОПРЕДЕЛЕНИЯ ЭНЕРГИИ ДИССОЦИАЦИИ N–H-СВЯЗЕЙ

**Химическое равновесие со стабильным радикалом (СНЕ).** В основе метода лежит изучение равновесия между стабильным феноксильным радикалом (например, 2,4,6-три-*трем*-бутилфеноксилом, ArO<sup>·</sup>) и ароматическим амином типа [16–18]:



Равновесие характеризуется константой равновесия  $K_1$  и устанавливается очень быстро [19], так что при концентрации ArOH порядка  $10^{-3}$  моль л<sup>-1</sup> время релаксации составляет всего  $10^{-4}$  с, в то время как длительность опыта составляет  $\sim 10^3$  с [16]. Константа равновесия позволяет вычислить энергию Гиббса и энталпию равновесной реакции:

$$-RT\ln K_1 = \Delta G = \Delta H - T\Delta S. \quad (1)$$

Поскольку изменение энтропии в реакциях такого типа мало [16–18], то можно принять

$$\Delta G = \Delta H = D_{\text{N}-\text{H}} - D_{\text{O}-\text{H}}, \quad (2)$$

где  $D_{\text{N}-\text{H}}$  и  $D_{\text{O}-\text{H}}$  – энергии диссоциации связей при  $T = 298.15$  К, они не включают в себя энергию нулевых колебаний этих связей, а вычислять  $D_{\text{N}-\text{H}}$  в ароматическом амине по уравнению:

$$D_{\text{N}-\text{H}} = D_{\text{O}-\text{H}}(\text{ArOH}) - RT\ln K_1. \quad (3)$$

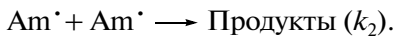
В экспериментах при разных температурах энталпия реакции измерялась и по зависимости  $\ln K_1$  от обратной температуры по уравнению [16]:

$$\Delta H = -RT^2 d\ln K_1/dT. \quad (4)$$

Вычисленные таким образом значения  $\Delta H$  оказались очень близкими к  $\Delta H$ , вычисленными при условии  $\Delta H = \Delta G$ . Например, для равновесия ArO<sup>·</sup> с 4,4'-диметилдифениламином  $\Delta H = -RT^2 \ln K_1/dT = 17.8 \pm 1.5$  кДж моль<sup>-1</sup>, а  $\Delta H = \Delta G = 17.5 \pm 0.5$  кДж моль<sup>-1</sup> [16]. В качестве стабильных феноксильных радикалов использовались: 2,4,6-три-*трем*-бутилфеноксил,  $D_{\text{O}-\text{H}} = 339.9$  кДж моль<sup>-1</sup> и 2,6-ди-*трем*-бутил-4-метоксифеноксил,  $D_{\text{O}-\text{H}} =$

$= 331.6$  кДж моль $^{-1}$  [16–18]. Среднеквадратичная погрешность в определении  $D_{\text{O-H}}$  по константе равновесия  $K_1$  составляет около 1 кДж моль $^{-1}$  [16–18].

В работе [16] кинетику расходования 2,4,6-три-*трет*-бутил-феноксила в растворе  $\text{CCl}_4$  изучали спектрофотометрически при 298 К. В этих условиях протекают следующие реакции:



Расходование  $\text{ArO}^\cdot$  в такой системе описывается следующим кинетическим уравнением:

$$\frac{c^2}{[\text{ArO}^\cdot]} + 2(c + c^2/b) \ln \frac{[\text{ArO}^\cdot]}{[\text{ArO}^\cdot] + b} + \frac{(b + c)^2}{[\text{ArO}^\cdot] + b} = 2K_1^2 k_2 b^2 t, \quad (5)$$

где  $b = [\text{AmH}]_0 - [\text{ArO}^\cdot]_0$ ,  $c = [\text{ArOH}]_0 + [\text{ArO}^\cdot]_0$ . Спрямляя кинетику расходования  $\text{ArO}^\cdot$  в координатах уравнения (5), вычисляли произведение констант  $K_1 k_2$ , а затем, с использованием данных по рекомбинации аминильных радикалов [20], вычисляли константу равновесия  $K_1$  и по уравнению (3) вычисляли  $D_{\text{N-H}}$ . В работах [17, 18] для измерения  $K_1$  использовался метод ЭПР, который позволял по ЭПР-спектрам феноксильного и аминильного радикалов оценивать константу равновесия по формуле:

$$K_1 = \frac{[\text{ArOH}]_0 [\text{Am}^\cdot]_\infty}{[\text{ArO}^\cdot]_\infty [\text{AmH}]_0}. \quad (6)$$

Для дифениламина в [16] была получена  $D_{\text{N-H}}$  в опытах по равновесию между  $\text{Ph}_2\text{NH}$  и 2,4,6-три-*трет*-бутилфенооксилом ( $D_{\text{O-H}} = 339.9$  кДж моль $^{-1}$ ), равная  $D_{\text{N-H}} = 364.7$  кДж моль $^{-1}$ . Это значение практически совпало с  $D_{\text{N-H}} = 364.8$  кДж моль $^{-1}$ , измеренной методом РАС (см. ниже), и была принята в справочнике [10] и в настоящей работе как реперная для всех методов измерения  $\Delta D_{\text{N-H}}$ .

**Кинетический метод пересекающихся парабол (MIP).** В этом методе каждый класс радикальных реакций имеет свою комбинацию атомов в реакционном центре переходного состояния, например, N...H...O в реакции  $\text{RO}_2^\cdot$  с AmH и N...H...C в реакции  $\text{R}^\cdot$  с AmH. Кроме того, он характеризуется следующими параметрами: коэффициентами  $b$  ( $b = b_{\text{N-H}}$ ) и  $b_f$  ( $b_f = b_{\text{O-H}}$  или  $b_{\text{C-H}}$ ), где  $2b^2$  – сила постоянная соответствующей связи, коэффициентом  $\alpha = b/b_f$ , удлинением  $r_e$  реагирующих связей N–H и O–H (или C–H) в переходном состоянии, параметром  $br_e$ , и предэкспоненциальным множителем  $A_0$  (в расчете на одну N–H-связь). Индивидуальная реакция, кроме того, характери-

зуется классической энталпией:  $\Delta H_e = \Delta H + 0.5hN_A(v - v_f)$  (здесь  $N_A$  – число Авогадро,  $h$  – постоянная Планка,  $v$  – частота валентного колебания атакуемой связи N–H,  $v_f$  – частота валентного колебания образующейся связи O–H или C–H), энергией активации  $E$ , классическим потенциальным барьером:  $E_e = E + 0.5N_Ahv - 0.5RT$ , где  $R$  – газовая постоянная, и константой скорости  $k = n_{\text{N-H}}A_0\exp(-E_e/RT)$ , где  $n_{\text{N-H}}$  – число атакуемых связей в молекуле амина с одинаковой реакционной способностью [7, 10, 21–23]. Кинетические параметры, использованные для определения  $D_{\text{N-H}}$  ( $T = 298.15$  К), приведены в [10].

Энергия диссоциации связи Am $_i$ –H в этом методе вычисляется с использованием экспериментальных констант скорости реакций  $\text{RO}_2^\cdot + \text{Am}_i\text{H}$  (или  $\text{R}^\cdot + \text{Am}_i\text{H}$ ) ( $k_i$ ) и  $\text{RO}_2^\cdot + \text{Am}_1\text{H}$  (или  $\text{R}^\cdot + \text{Am}_1\text{H}$ ) ( $k_1$ ) по уравнениям [21–23]:

$$\Delta E_i = E_i - E_1 = RT \ln(n_i k_i / n_1 k_1), \quad (7)$$

$$\Delta D_i = 2br_e \alpha^{-2} \left\{ \sqrt{E_{e1} + \Delta E_i} - \sqrt{E_e} \right\} - (\alpha^{-2} - 1) \Delta E_i, \quad (8)$$

$$D_{\text{N-H}} = D_1 + \Delta D_i. \quad (9)$$

Здесь классический потенциальный барьер  $E_{e1}$  характеризует реакцию амина, выбранного в качестве соединения сравнения с известной по своей прочности Am $_1$ –H-связи. В случае реакций разных по своей структуре аминильных радикалов с одной молекулой, например, Am $_i^\cdot + \text{RH}$  или Am $_i^\cdot + \text{ROOH}$ , разность энергий активации вычислялась по уравнению:

$$\Delta E_i = E_1 - E_i = RT \ln(n_1 k_i / n_i k_1), \quad (10)$$

где  $E_1$  характеризует реакцию сравнения Am $_1^\cdot + \text{ROOH}$  или Am $_1^\cdot + \text{RH}$ . Для вычисления классического потенциального барьера реакции сравнения  $E_{e1}$  (уравнение (7)) использовались следующие уравнения MIP (для примера взята реакция  $\text{RO}_2^\cdot + \text{Am}_i\text{H}$ ) [21–23]:

$$\Delta H_e = D_{\text{N-H}} - D_{\text{O-H}}(\text{ROOH}) + 0.5hN_A(v_{\text{N-H}} - v_{\text{O-H}}), \quad (11)$$

$$\sqrt{E_e} = B \left\{ 1 - \alpha \sqrt{1 - \frac{\Delta H_e}{B br_e}} \right\}, \quad (12)$$

где  $B = (br_e)/(1 - \alpha^2)$ . Для реакций с энталпией  $\Delta H_e \ll (br_e)^2(1 - \alpha^2)^{-1}$  барьер  $E_e$  вычисляется по уравнению:

$$E_e^{1/2} = br_e/(1 + \alpha) + (\alpha/2br_e)\Delta H_e. \quad (13)$$

В качестве аминов с известной  $D_{\text{N-H}}$  (реперных) чаще всего использовались следующие два: дифе-

ниламин ( $D_{N-H} = 364.7 \text{ кДж моль}^{-1}$ ) и 4,4'-диметоксидифениламин ( $D_{N-H} = 348.3 \text{ кДж моль}^{-1}$ ). Расчеты  $D_{N-H}$  для N,N'-дифенил-n-фенилендиамина с этими реперными аминами по уравнениям (7)–(9) показали, что оба расчета дают значения  $D_{N-H}$ , различающиеся всего на  $0.1 \text{ кДж моль}^{-1}$  при средней погрешности в определении  $D_{N-H}$  в  $2 \text{ кДж моль}^{-1}$  [14]. Из уравнений (7) и (8) следует, что параметры расчета  $D_{N-H}$  зависят от энталпии реакции, которая, в свою очередь, зависит от  $D_{O-H}$  O–H-связи образующегося гидропероксида. Специальные расчеты  $D_{N-H}$  (уравнения (7)–(9)) по результатам кинетических измерений реакций класса  $\text{RO}_2^{\cdot} + \text{AmH}$  показали, что значения  $D_{N-H}$  для одной связи можно вычислять по кинетическим данным реакций разных радикалов с выбранным амином [13].

**Метод фотоакустической калориметрии (PAC).** Фотоакустическая калориметрия представляет собой термодинамический метод определения энергий диссоциации связей в растворе. В основе метода лежат следующие физические принципы и приемы [24–26]. В реактор (кувету) вводится раствор фотоинициатора и реагента. Вспышкой лазера в ограниченном объеме реактора инициируется быстрая фотохимическая реакция, которая генерирует ударную волну. Последняя распространяется по жидкости со скоростью звука и фиксируется пьезодатчиком на стенке реактора. По амплитуде этой волны оценивается энталпия реакции и вычисляется энергия диссоциации соответствующей связи. Этот метод был использован для оценки ЭДС O–H-связи в фенолах [27, 28] и в таком же варианте для оценки ЭДС N–H-связи ( $T = 298.15 \text{ К}$ ) в анилинах и дифениламинах [29]. Фотоинициатором служил ди-*трет*-бутилпероксид. Вспышка лазера ( $\lambda = 337 \text{ нм}$ ) за короткое время порядка  $10 \text{ нс}$  вызывала диссоциацию пероксида с квантовым выходом  $\Phi = 0.83$ :  $\text{Me}_3\text{COOCMe}_3 \rightarrow 2 \text{ Me}_3\text{CO}^{\cdot}$ . Образовавшиеся *трет*-бутильные радикалы быстро вступали в реакцию с молекулами амина:  $\text{Me}_3\text{CO}^{\cdot} + \text{AmH} \rightarrow \text{Me}_3\text{COH} + \text{Am}^{\cdot}$ .

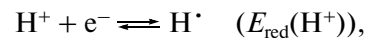
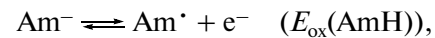
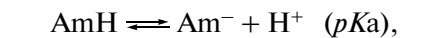
Выделившаяся теплота соответствовала энталпии следующей брутто-реакции:



и вызывала ударную волну, которую фиксировали пьезодатчиком на стенке реактора. Сигнал датчика записывали на осциллографе. Проводилась серия опытов, результаты которых усреднялись. Важным условием в таких экспериментах было то, что время выделения тепла в фотохимической реакции должно быть существенно короче времени достижения датчика ударной волной. Среднеквадратичная погрешность в определении  $D_{N-H}$  оценивается в  $\pm 6 \text{ кДж моль}^{-1}$  [29]. При оценке ЭДС N–H-связей в

газовой фазе авторы [29] учитывали энергию сольватации атома водорода в бензоле ( $4.5 \text{ кДж моль}^{-1}$ ) и образование водородной связи между N–H-связью амина и бензолом ( $2 \text{ кДж моль}^{-1}$ ). Для дифениламина методом PAC получена  $D_{N-H} = 364.8 \text{ кДж моль}^{-1}$  [29].

**Метод: кислотность-окислительный потенциал (AOP).** Теоретическая основа метода – следующий термохимический цикл [30–32].



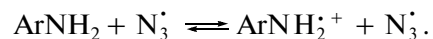
В методе, разработанном Ф. Бордуэллом [30–32], константа кислотной диссоциации и окислительный потенциал измерялись в диметилсульфоксиде. Это позволяет, комбинируя оба измерения, вычислить  $D_{N-H}$ , используя уравнение [33]:

$$D_{N-H} = 5.70\Delta p K_a + 96.48\Delta E_{\text{ox}}(\text{AmH}) + 305.3 \text{ (кДж моль}^{-1}). \quad (14)$$

Постоянная величина  $305.3 \text{ кДж моль}^{-1}$  соответствует  $D_{N-H}$  дифениламина в  $364.7 \text{ кДж моль}^{-1}$  и анилина, равной  $384.8 \text{ кДж моль}^{-1}$ . Среднеквадратичная погрешность в определении  $D_{N-H}$  оценивается в  $\pm 6 \text{ кДж моль}^{-1}$  [32, 33].

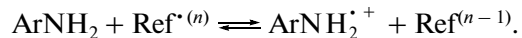
Несколько иной вариант аналогичного метода разработан М. Джонсоном [34, 35]. Методом импульсного радиолиза в водном растворе из  $\text{HN}_3$  генерируются радикалы  $\text{N}_3^{\cdot}$ :  $\text{HN}_3 \rightleftharpoons \text{N}_3^- + \text{H}^{\cdot}$ ,  $\text{HO}^{\cdot} + \text{N}_3^- \rightarrow \text{HO}^- + \text{N}_3^{\cdot}$ .

Последние селективно отрывают электрон от амина по обратимой реакции:



Спектрофотометрически измеряются константы скорости прямой и обратной реакции с переносом электрона и равновесная концентрация аминильного катион-радикала ( $\text{ArNH}_2^{\cdot+}$ ). За образованием аминильного катион-радикала следует его быстрая кислотная диссоциация:  $\text{ArNH}_2^{\cdot+} \rightleftharpoons \text{ArNH}^{\cdot} + \text{H}^{\cdot}$ .

Для измерения потенциала восстановления катион-радикала амина ( $\text{ArNH}_2^{\cdot+}$ ) вводилось соединение сравнения ( $\text{Ref}^{\cdot(n)}$ ) и измерялась константа равновесия:



В качестве соединения сравнения использовали прометазин [10-(2-(диметиламино)пропил)фе-

нотиазин], 1,4-диметоксибензол, 1,2,4-триметоксибензол и N,N'-дифенил-*пара*-фенилендиамин. Были вычислены константа равновесия  $K_a$  и окислительный потенциал  $E^0(\text{AmNH}_2^+/\text{ArNH}_2)$ ;  $D_{\text{N}-\text{H}}$  амина вычисляли по уравнению:

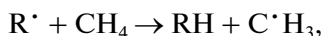
$$D_{\text{N}-\text{H}} = 5.70 \Delta p K_a + 96.48 \Delta E^0(\text{ArNH}_2^+/\text{AmH}) + 246.2 \text{ кДж моль}^{-1}, \quad (15)$$

где  $pK_a$  характеризует кислотную диссоциацию катион-радикала  $\text{ArNH}_2^+$ , а потенциал  $E^0(\text{ArNH}_2^+/\text{AmH})$  – разность потенциалов амина и катион-радикала. Постоянная величина 246.2 кДж моль<sup>-1</sup> соответствует  $D_{\text{N}-\text{H}}$  дифениламина (364.7 кДж моль<sup>-1</sup>) и N–H-связи анилина (384.8 кДж моль<sup>-1</sup>).

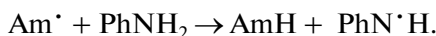
### РЕЗУЛЬТАТЫ ЭКСПЕРИМЕНТАЛЬНЫХ МЕТОДОВ ОПРЕДЕЛЕНИЯ ЭНЕРГИИ ДИССОЦИАЦИИ N–H-СВЯЗЕЙ

В табл. 1 приведены результаты определения  $D_{\text{N}-\text{H}}$  38 ароматических аминов строения  $\text{ArNH}_2$  и  $\text{ArMeNH}$ , для которых  $D_{\text{N}-\text{H}}$  измерены тремя методами.

Наряду с  $D_{\text{N}-\text{H}}$  в табл. 1 приведены энергии стабилизации аминильных радикалов  $\Delta E_{\text{RS}}$ , образующихся из замещенных анилинов. В применении к углеродцентрированным радикалам энергия стабилизации  $\Delta E_{\text{RS}}$  рассматривается как энталпия реакции [37]:



которая равна:  $\Delta E_{\text{RS}} = D_{\text{C}-\text{H}}(\text{CH}_4) - D_{\text{C}-\text{H}}(\text{RH})$ . По аналогии, энергия стабилизации аминильного радикала  $\text{Am}_i^\cdot$  относительно образующегося из анилина радикала  $\text{PhN}^\cdot \text{H}$  ( $\Delta E_{\text{RS}}$ ), характеризовалась энталпией реакции:



В этом случае  $\Delta E_{\text{RS}}$  равна:

$$\Delta E_{\text{RS}} = D_{\text{N}-\text{H}}(\text{PhNH}_2) - D_{\text{N}-\text{H}}(\text{Am}_i \text{H}). \quad (16)$$

Энергия стабилизации  $\Delta E_{\text{RS}}(\text{XC}_6\text{H}_4\text{N}^\cdot \text{H})$  коррелирует с  $\sigma^+$  Брауна, корреляция описывается уравнением:

$$\Delta E_{\text{RS}}(\text{XC}_6\text{H}_4\text{N}^\cdot \text{H}) \text{ (кДж моль}^{-1}) = 0.93 \pm 0.83 - (19.45 \pm 1.49)\sigma^+ \quad (17)$$

и характеризуется коэффициентом корреляции  $r = 0.969$  и среднеквадратичным отклонением  $SD = 2.95$  кДж моль<sup>-1</sup>. Величина  $\Delta E_{\text{RS}}(\text{XC}_6\text{H}_4\text{N}^\cdot \text{H})$  хорошо коррелирует с энергией стабилизации фе-

ноксильных радикалов  $\Delta E_{\text{RS}}(\text{XC}_6\text{H}_4\text{O}^\cdot)$  для разнообразных *пара*-заместителей X ( $\Delta E_{\text{RS}}(\text{XC}_6\text{H}_4\text{O}^\cdot) = D_{\text{O}-\text{H}}(\text{PhOH}) - D_{\text{O}-\text{H}}(\text{XC}_6\text{H}_4\text{OH})$ ,  $D_{\text{O}-\text{H}}$  см. в [23]). Корреляция характеризуется коэффициентом корреляции  $r = 0.994$ , среднеквадратичным отклонением  $SD = 1.26$  кДж моль<sup>-1</sup> и описывается уравнением:

$$\begin{aligned} \Delta E_{\text{RS}}(\text{XC}_6\text{H}_4\text{N}^\cdot \text{H}) \text{ (кДж моль}^{-1}) &= \\ &= 0.59 \pm 0.53 + \Delta E_{\text{RS}}(\text{XC}_6\text{H}_4\text{O}^\cdot). \end{aligned} \quad (18)$$

В эту корреляционную зависимость не включены такие электроотрицательные заместители, как X = Br, Ac, NO<sub>2</sub> и CF<sub>3</sub>.

Энергии диссоциации  $D_{\text{N}-\text{H}}$  диариламинов приведены в табл. 2.

Среди замещенных дифениламинов есть моно- и бис-замещенные с известными значениями  $D_{\text{N}-\text{H}}$  (табл. 2). Целесообразно сравнить, как воздействуют на  $D_{\text{N}-\text{H}}$  и  $\Delta E_{\text{RS}}$  оба заместителя. Ниже в табл. 3 проведено такое сравнение ( $\Delta E_{\text{RS}}$  приведены в кДж моль<sup>-1</sup> в расчете на один заместитель). Мы видим, что для всех *n*-замещенных дифениламинильных радикалов в пределах погрешности измерения выполняется *правило аддитивности*: два заместителя удваивают энергию стабилизации радикала по сравнению с одним заместителем, а именно:

$$0.5\Delta E_{\text{RS}}[(\text{XC}_6\text{H}_4)_2\text{N}^\cdot] = \Delta E_{\text{RS}}(\text{XC}_6\text{H}_4\text{N}^\cdot \text{Ph}). \quad (19)$$

Это открывает возможность дополнить ряд дифениламинов с известной  $D_{\text{N}-\text{H}}$ . Для  $(\text{Me}_2\text{NC}_6\text{H}_4)_2\text{N}^\cdot$   $\Delta E_{\text{RS}}(\text{Me}_2\text{N}) = 0.5 (364.7 - 338.3) = 13.2$  кДж моль<sup>-1</sup> и  $D_{\text{N}-\text{H}}(\text{Me}_2\text{NC}_6\text{H}_4\text{NHPh}) = 364.7 - 13.2 = 351.5$  кДж моль<sup>-1</sup>, для 4-Br-заместителя  $\Delta E_{\text{RS}} = 0.4$  кДж моль<sup>-1</sup> и, следовательно,  $D_{\text{N}-\text{H}}(4\text{-BrC}_6\text{H}_4\text{NHPh}) = 364.7 - 0.4 = 364.3$  кДж моль<sup>-1</sup>.

Данные, представленные в табл. 1 и 2, позволяют сравнить стабилизирующее действие заместителей на энергию стабилизации замещенных фениламинильных и дифениламинильных радикалов. Наблюдается хорошая линейная корреляция между  $\Delta E_{\text{RS}}(\text{XC}_6\text{H}_4)_2\text{N}^\cdot$  и  $\Delta E_{\text{RS}}(\text{XC}_6\text{H}_4\text{N}^\cdot \text{H})$ . Она характеризуется коэффициентом корреляции  $r = 0.990$ , среднеквадратичным отклонением  $SD = 2.1$  кДж моль<sup>-1</sup> и описывается уравнением:

$$\begin{aligned} \Delta E_{\text{RS}}((\text{XC}_6\text{H}_4)\text{N}^\cdot) &= 0.92 \pm 0.93 + \\ &+ \Delta E_{\text{RS}}(\text{XC}_6\text{H}_4\text{N}^\cdot \text{H}). \end{aligned} \quad (20)$$

Это позволяет оценивать  $D_{\text{N}-\text{H}}(\text{XC}_6\text{H}_4\text{NHPh})$  и  $D_{\text{N}-\text{H}}((\text{XC}_6\text{H}_4)_2\text{NH})$  через  $D_{\text{N}-\text{H}}(\text{Ph}_2\text{NH})$  и  $\Delta E_{\text{RS}}(\text{XC}_6\text{H}_4\text{N}^\cdot \text{H})$ :

**Таблица 1.** Энергии диссоциации N–H-связей ( $T = 298.15$  K) ароматических аминов ( $\text{ArNH}_2$  и  $\text{ArMeNH}$ ), измеренные разными методами: МIP, PAC, AOP и энергии стабилизации  $\Delta E_{\text{RS}}$  амиильных ( $\text{XC}_6\text{H}_4\text{N}^{\cdot}\text{H}$ ) и феноксильных ( $\text{XC}_6\text{H}_4\text{O}^{\cdot}$ ) радикалов

Амин	$D_{\text{N-H}} (\text{МIP}),$ кДж моль $^{-1}$	$D_{\text{N-H}} (\text{AOP}),$ кДж моль $^{-1}$	$\Delta E_{\text{RS}} (\text{XC}_6\text{H}_4\text{N}^{\cdot}\text{H}),$ кДж моль $^{-1}$	$\Delta E_{\text{RS}} (\text{XC}_6\text{H}_4\text{O}^{\cdot}),$ кДж моль $^{-1}$
$\text{PhNH}_2 (\text{X} = 0)$	392.8 [36] 375.3 [29]*	384.8 [33] 384.8 [35]	0.0 —	0.0 —
	366.1 [29]* —	383.5 [33] 382.8 [35]	5.4 —	7.4 —
	—	390.8 [34]	-5.5	9.0
	—	383.8 [35]	5.5	7.9
	372.9 [8]	376.8 [33]	11.0	22.4
	—	376.8 [35]	—	—
	—	391.5 [33]	-6.2	4.4
	—	382.8 [34]	2.5	14.5
	—	371.8 [35]	24.0	46.8
	382.0 [29]*	—	4.7	3.6
	—	385.2 [33]	0.1	0.6
	—	386.0 [33]	-0.7	-0.8
	—	388.1 [33]	-2.8	9.2
	—	384.8 [33]	0.5	8.8
	—	388.5 [33]	-3.2	—

Таблица 1. Продолжение

Амин	$D_{N-H}$ (MIP), кДж моль <sup>-1</sup>	$D_{N-H}$ (AOP), кДж моль <sup>-1</sup>	$\Delta E_{RS}$ ( $XC_6H_4N^+H$ ), кДж моль <sup>-1</sup>	$\Delta E_{RS}$ ( $XC_6H_4O^+$ ), кДж моль <sup>-1</sup>
	—	384.8 [35]	0.3	—
	—	396.9 [33] 395.8 [35]	-11.4 —	-20.8 —
	—	396.5 [33]	-11.2	—
	—	392.3 [33]	-7.0	9.4
	—	392.7 [33] 390.8 [35]	-8.2 —	— —
	—	403.2 [33]	-15.7	-4.2
	—	402.4 [33] 396.8 [35]	-12.3 —	-9.2 —
	—	399.0 [33] 401.8 [34]	-13.7 -16.5	-16.7 —
	—	398.8 [34]	-13.5	—
	—	399.0 [33]	-13.7	—
	—	379.8 [34]	5.5	17.7
	—	382.8 [34]	2.5	23.6

Таблица 1. Окончание

Амин	$D_{\text{N}-\text{H}}$ (МП), кДж моль <sup>-1</sup>	$D_{\text{N}-\text{H}}$ (АОР), кДж моль <sup>-1</sup>	$\Delta E_{\text{RS}} (\text{X}\text{C}_6\text{H}_4\text{N}^+\text{H})$ , кДж моль <sup>-1</sup>	$\Delta E_{\text{RS}} (\text{X}\text{C}_6\text{H}_4\text{O}^+)$ , кДж моль <sup>-1</sup>
	—	389.8 [34]	-4.5	4.8
	—	378.8 [34]	6.5	—
	—	381.8 [34]	3.5	—
	—	394.8 [34]	-9.5	—
	—	407.0 [33]	-21.7	—
	—	398.2 [33]	-12.9	—
PhNHMe	377.8 [36]	372.2 [33]	13.1	—
	371.6 [36]	—	13.7	—
	376.5 [36]	—	8.8	—
	385.6 [36]	—	-0.3	—
	$374.2 \pm 1.4$ [36]	—	11.1	—
	$378.6 \pm 1.1$ [36]	—	6.7	—

\* Измерено методом РАС.

**Таблица 2.** Энергии диссоциации N–H-связей ( $T = 298.15$  K) диариламинов, измеренные методами СНЕ, МИР, РАС и АОР

Амин	$D_{\text{N}-\text{H}}, (\text{СНЕ}),$ кДж моль $^{-1}$	$D_{\text{N}-\text{H}}, (\text{МИР}),$ кДж моль $^{-1}$	$D_{\text{N}-\text{H}}, (\text{АОР}),$ кДж моль $^{-1}$
Ph <sub>2</sub> NH	$364.7 \pm 0.5$ [16]	$364.7$ [13], $373.2$ [29]*	$364.7$ [33]
	—	—	$362.2$ [33]
	—	—	$365.1$ [33]
	$355.9 \pm 0.5$ [16]	$356.6 \pm 1.8$ [13]	$356.8$ [33]
	$360.3 \pm 0.5$ [16]	$362.0$ [13]	—
	—	$370.0$ [13]	$368.5$ [33]
	$372.9 \pm 0.5$ [16]	$374.3 \pm 2.0$ [13]	$376.8$ [33]
	$355.8 \pm 1.7$ [16],	$359.0 \pm 1.6$ [13] $360.7$ [29]*	—
	$358.8 \pm 0.5$ [16]	$358.7 \pm 0.1$ [13]	—
	—	$359.7$ [13]	—
	Среднее: $348.3 \pm 0.3$ [16], [17]	$348.9 \pm 2.0$ [13]	$350.9$ [33]

Таблица 2. Окончание

Амин	$D_{N-H}$ , (СНЕ), кДж моль <sup>-1</sup>	$D_{N-H}$ , (МПР), кДж моль <sup>-1</sup>	$D_{N-H}$ , (АОР), кДж моль <sup>-1</sup>
	$338.3 \pm 1.2$ [17]	—	—
	$364.2 \pm 0.5$ [16]	$363.6 \pm 0.5$ [13]	$367.2$ [33]
	—	$382.8$ [13]	—
	$357.1 \pm 0.5$ [16]	$358.4 \pm 1.3$ [36]	—
	$362.9 \pm 0.5$ [16]	$359.2 \pm 1.3$ [36]	—
	$360.2 \pm 0.5$ [16]	$355.5$ [8]	—
	—	$353.6$ [12]	—
	—	$349.4$ [36]	—

\* Измерено методом РАС.

$$D_{N-H}(XC_6H_4NPh)(\text{кДж моль}^{-1}) = \\ = 364.2 - 0.59\Delta E_{RS}(XC_6H_4N^{\cdot} H), \quad (21)$$

$$D_{N-H}((XC_6H_4)_2N - H)(\text{кДж моль}^{-1}) = \\ = 363.8 - 1.18\Delta E_{RS}(XC_6H_4N^{\cdot} H). \quad (22)$$

Корреляционная зависимость между энергией стабилизации 3,7-бис-замещенных фенотиазинов и  $\Delta E_{RS}(XC_6H_4N^{\cdot} H)$  также носит линейный характер:

$$\Delta E_{RS}(3,7-X_2C_{12}H_6SN^{\cdot}) = -0.10 \pm 0.37 + \\ + (1.12 \pm 0.06)\Delta E_{RS}(XC_6H_4N^{\cdot} H). \quad (23)$$

**Таблица 3.** Сопоставление энергий стабилизации диариламильных радикалов  $\Delta E_{RS}$  в расчете на один заместитель

Заместитель	4-Me	4,4'-Me	4-Me <sub>3</sub> C	4,4'-Me <sub>3</sub> C	4-MeO	4,4'-MeO	4-NO <sub>2</sub>	4,4'-NO <sub>2</sub>
$\Delta E_{RS}$ ( <b>CHE</b> )	—	4.4	4.4	3.0	8.8	8.2	-8.2	—
$\Delta E_{RS}$ ( <b>MIP</b> )	—	2.8	2.7	3.0	8.1	7.9	-9.5	-9.0
$\Delta E_{RS}$ ( <b>AOP</b> )	2.5	2.0	—	—	7.9	6.9	-12.1	—
Среднее	$2.7 \pm 0.9$		$3.3 \pm 0.7$		$8.0 \pm 0.6$		$-9.7 \pm 1.5$	

**Таблица 4.** Сравнение энергий стабилизации в аминильных радикалах XN<sup>+</sup>H и XN<sup>+</sup>Ph

X	H	Ph	1-C <sub>10</sub> H <sub>7</sub>	2-C <sub>10</sub> H <sub>7</sub>
$E_{RS}(XN^+H)$ , кДж моль <sup>-1</sup>	0	67.4	78.0	74.1
$\Delta E_{RS}(XN^+Ph)$ , кДж моль <sup>-1</sup>	0	20.6	26.9	26.1

Корреляционное уравнение для оценки  $D_{N-H}$  в замещенных фенотиазинах имеет вид:

$$\begin{aligned} D_{N-H}(3,7-X_2C_{12}H_6SN-H) = \\ = 337.4 - 1.12\Delta E_{RS}(XC_6H_4N^+H). \end{aligned} \quad (24)$$

В стабилизирующем действии арильных заместителей вmono- и бис-ароматических аминильных радикалах аддитивности не наблюдается, как это видно из табл. 4.

Действительно, замена в фениламильном радикале еще одного H на Ph стабилизирует дифениламильный радикал не на 67.4, а всего на 20.6 кДж моль<sup>-1</sup>. Точно также обстоит дело и в других случаях, представленных выше.

Энергии диссоциации  $D_{N-H}$  феназинов и гидрохинолинов приведены в табл. 5.

Значения  $D_{N-H}$ , полученные разными методами, хорошо согласуются друг с другом (среднее расхождение составляет всего  $\pm 1.0$  кДж моль<sup>-1</sup>).

В табл. 6 представлены  $D_{N-H}$ , полученные для серии двухатомных аминов (14 соединений) по кинетическим данным методом **MIP** [13].

Как видно из данных, приведенных в табл. 6, *n*-аминозаместители оказывают сильное стабилизирующее действие на соответствующие аминильные радикалы. В табл. 7 приведены  $D_{N-H}$  для ряда парафенилендиаминов и значения  $\Delta E_{RS}$  (радикал сравнения – фениламильный радикал) для образующихся из них аминильных радикалов.

Как мы видим, энергия стабилизации для одного из них достигает 40 кДж моль<sup>-1</sup>. Интересно отметить, что метильный радикал вызывает более сильную стабилизацию ( $\Delta E_{RS} = 36.4$  кДж моль<sup>-1</sup>), чем фенильный ( $\Delta E_{RS} = 32.5$  кДж моль<sup>-1</sup>). Еще слабее стабилизирует 2-нафтильный заместитель ( $\Delta E_{RS} = 30.7$  кДж моль<sup>-1</sup>).

Как видно из табл. 1–6, значения  $D_{N-H}$ , полученные разными методами, как правило, близки. Среднеквадратичное расхождение между ними составляет всего  $1.5 \pm 0.9$  кДж моль<sup>-1</sup> и только для четырех аминов оно превышает 2 кДж моль<sup>-1</sup>. Из значений  $D_{N-H}$ , представленных в табл. 1–4, результаты сильно расходятся только для двух аминов. Первое:  $D_{N-H} = 392.8$  кДж моль<sup>-1</sup> для анилина (**MIP**, табл. 1) представляется сильно завышенным; по-видимому, это обусловлено тем, что образующийся из такого амина аминильный радикал очень активен и поэтому быстро вступает в обратную реакцию с гидропероксидом. Это снижает эмпирическую константу скорости реакции  $RO_2^+ + AmH$  и завышает вычисляемую по уравнениям (6)–(8) величину  $D_{N-H}$ . Второе: значение  $D_{N-H} = 442.9$  кДж моль<sup>-1</sup> в фенотиазине (**AOP**, табл. 3), видимо, также завышено; оно выше значений  $D_{N-H}$ , определенных другими методами.

## КВАНТОВО-ХИМИЧЕСКИЕ РАСЧЕТЫ ЭНЕРГИИ ДИССОЦИАЦИИ СВЯЗЕЙ

В последние годы для оценки энергий диссоциации связей все чаще используются квантово-химические методы расчета. В применении к ароматическим аминам эти методы были использованы в работах [17, 39, 40]. В [17] для расчета использовался метод функционала плотности с оптимизацией геометрии и вибрационных частот полуэмпирическим методом AM1. Были вычислены  $D_{N-H}$  для анилина и серии замещенных анилинов, а также для ряда замещенных дифенилендиаминов и фенотиазинов. В работе [39] расчет был выполнен для серии замещенных анилинов с использованием GAUSSIAN-98 и метода UB3LYP/6-311++g\*\*//UB3LYP/6-311+g\* и ROMP2/6-311+g\*/6-311+g\*. В [40] для расчета  $D_{N-H}$  в замещенных анилинах использовались пакеты программ GAMESS-US и GAUSSIAN-98.

**Таблица 5.** Энергии диссоциации N–H-связей ( $T = 298.15$  K) феназинов и гидрохинолинов, измеренные методами: **CHE**, **MIP**, **PAC** и **AOP**

Антиоксидант	$D_{N-H}$ ( <b>CHE</b> ), кДж моль <sup>-1</sup>	$D_{N-H}$ ( <b>MIP</b> ), кДж моль <sup>-1</sup>	$D_{N-H}$ ( <b>AOP</b> ), кДж моль <sup>-1</sup>
	$337.5 \pm 1.2$ [18]	337.5 [13]	342.9 [33]
	$328.7 \pm 1.2$ [18]	326.5 [13]	332.0 [33]
	$342.1 \pm 1.2$ [18]	344.1 [13]	—
	$350.5 \pm 1.2$ [18]	—	—
	$330.8 \pm 1.2$ [18]	—	—
	$332.5 \pm 1.2$ [18]	335.5 [13]	—
	$324.5 \pm 1.2$ [18]	324.2 [13]	—
	$339.6 \pm 1.2$ [18]	341.0 [13]	—
	$344.6 \pm 1.2$ [18]	—	—

Таблица 5. Окончание

Антиоксидант	$D_{N-H}$ (CHE), кДж моль <sup>-1</sup>	$D_{N-H}$ (MIP), кДж моль <sup>-1</sup>	$D_{N-H}$ (AOP), кДж моль <sup>-1</sup>
	—	355.9 [13, 38]	—
	—	383.3 [13, 38]	—
	—	375.5 [13, 38]	—
	—	383.1 [13, 38]	—
	—	380.6 [13, 38]	—
	—	348.2 [13, 38]	—
	—	345.3 [13, 38]	—

**Таблица 6.** Исходные константы скорости реакции ( $k_i$ ) и вычисленные методом МПР по уравнениям (6)–(8) значения  $D_{N-H}$  ( $T = 298.15$  K) для ароматических диаминов [12]

Амин	$\text{RO}_2^\cdot$	$T, \text{ К}$	$k_i, \text{ л моль}^{-1} \text{ с}^{-1}$	$\Delta E_i, \text{ кДж моль}^{-1}$	$\Delta D_i, \text{ кДж моль}^{-1}$	$D_{N-H}, \text{ кДж моль}^{-1}$	
<chem>Nc1ccc(N)cc1</chem>	$\text{PhMeCHO}_2^\cdot$ $\text{PhRCHO}_2^\cdot$	333 338	$1.0 \times 10^6$ $7.5 \times 10^5$	-2.8 -1.8	-6.0 -3.7	358.6 360.9	
			$D_{N-H} = 359.8 \pm 1.1$				
<chem>CN(c1ccc(N)c1)N(C)C</chem>	$\text{PhRCHO}_2^\cdot$	338	$2.5 \times 10^6$	-7.1	-15.7	348.9	
<chem>CN(C)c1ccc(N(C)C)cc1</chem>	$\text{PhRCHO}_2^\cdot$ $\text{PhMeCHO}_2^\cdot$	338 333	$3.3 \times 10^6$ $1.7 \times 10^6$	-9.8 -6.2	-22.4 -13.7	342.4 351.0	
<chem>CN(c1ccc(N(C)C)cc1)N(C)C</chem>	$\text{PhRCHO}_2^\cdot$	338	$1.9 \times 10^6$	-6.3	-13.9	350.8	
<chem>CN(c1ccc(N(C)C)cc1)N(C)C</chem>	$\text{цикло-C}_6\text{H}_9\text{O}_2^\cdot$	333	$8.6 \times 10^5$	-4.3	-9.4	355.3	
<chem>CN(c1ccc(N(C)C)cc1)N(C)C</chem>	$\text{PhRCHO}_2^\cdot$	303	$1.17 \times 10^6$	-6.4	-14.2	350.4	
<chem>CN(c1ccc(N(C)C)cc1)N(C)C</chem>	$\text{PhMe}_2\text{CO}_2^\cdot$	333	$2.19 \times 10^5$	-3.9	-8.1	356.6	
			$D_{N-H} = 352.8 \pm 2.6$				
<chem>CN(c1ccc(N(C)C)cc1)N(C)C</chem>	$\text{PhMe}_2\text{CO}_2^\cdot$	333	$6.31 \times 10^5$	-6.9	-14.5	350.2*	
<chem>CN(c1ccc(N(C)C)cc1)N(C)C</chem>	$\text{R}_3\text{CO}_2^\cdot$	398	$5.92 \times 10^4$	4.1	8.0	372.7	
<chem>CN(C)c1ccc(cc1)C(C)(C)c2ccc(N(C)C)c(C)c2</chem>	$\text{R}_3\text{CO}_2^\cdot$	398	$5.01 \times 10^4$	4.6	9.0	373.7	
<chem>Oc1ccc(N(C)Cc2ccc(OCC)cc2)cc1</chem>	$\text{R}_3\text{CO}_2^\cdot$	398	$2.49 \times 10^5$	-0.7	-1.3	363.3	
<chem>CN(C)c1ccc(cc1)N(C)c2ccc(cc2)C(C)C</chem>	$\text{PhMeCHO}_2^\cdot$	333	$4.5 \times 10^6$	-8.9	-20.0	344.6	

Таблица 6. Окончание

Амин	$\text{RO}_2^\cdot$	$T, \text{ К}$	$k_i, \text{ л моль}^{-1} \text{ с}^{-1}$	$\Delta E_i, \text{ кДж моль}^{-1}$	$\Delta D_i, \text{ кДж моль}^{-1}$	$D_{\text{N-H}}, \text{ кДж моль}^{-1}$
	$\text{PhMe}_2\text{CO}_2^\cdot$	298	$1.8 \times 10^5$	-5.4	-11.3	353.4
	цикло- $\text{C}_6\text{H}_9\text{O}_2^\cdot$	333	$1.07 \times 10^6$	-4.9	-10.7	-353.9
	$\text{PhMe}_2\text{CO}_2^\cdot$	333	$2.75 \times 10^5$	-4.6	-9.4	355.2
$D_{\text{N-H}} = 354.6 \pm 0.7$						
	$\text{R}_3\text{CO}_2^\cdot$	398	$1.24 \times 10^5$	1.4	2.8	367.4
	цикло- $\text{C}_6\text{H}_9\text{O}_2^\cdot$	333	$1.1 \times 10^6$	-5.0	-10.9	353.7
	$\text{PhMe}_2\text{CO}_2^\cdot$	333	$6.6 \times 10^2$	-1.4	-2.4	384.2
	$\text{PhMe}_2\text{CO}_2^\cdot$	333	$6.0 \times 10^3$	-7.5	-13.7	372.9
	$\text{PhMeCHO}_2^\cdot$	343	$1.28 \times 10^5$	1.6	3.3	367.9

Результаты расчетов в сопоставлении с экспериментальными данными представлены в табл. 8.

Как видно из табл. 8, расчетные  $D_{\text{N-H}}$  во многих случаях близки к экспериментальным ( $\Delta D_{\text{N-H}}$  отличаются от эмпирических не более чем на 5 кДж моль $^{-1}$ ). Для анилинов с заместителями: 2-Me, 2-MeO, 4-MeO и 3-CF<sub>3</sub> это различие, однако, достигает 7 кДж моль $^{-1}$ . Наблюдается линейная корреляция между  $\Delta D_{\text{N-H}}$  и функцией  $\sigma^+$  Брауна [17].

### ЭНЕРГИИ ДИССОЦИАЦИИ N—H, O—H И S—H-СВЯЗЕЙ В ГИБРИДНЫХ АНТИОКСИДАНТАХ

Бифункциональные антиоксиданты, в частности, аминофенолы обладают высокой реакционной способностью в радикальных реакциях и используются на практике для стабилизации каучуков и нефтепродуктов [13]. В последнее время гибридные антиоксиданты находят все возрастающее применение как лекарственные препараты

Таблица 7. Энергии стабилизации, вызванные заместителем R в диариламильных радикалах

Заместитель R в 	H	Me	Ph	2-C <sub>10</sub> H <sub>7</sub>	4-C <sub>6</sub> H <sub>4</sub> CHMe <sub>2</sub>
$D_{N-H}$ , кДж моль <sup>-1</sup>	359.8	348.9	352.8	354.6	344.6
$\Delta E_{RS}$ , кДж моль <sup>-1</sup>	25.5	36.4	32.5	30.7	40.7

для лечения разнообразных заболеваний [41]. Механизм их тормозящего действия более сложен, чем монофункциональных антиоксидантов, т.к. в обрыве цепей окисления принимают участие обе функциональные группы, и из одной молекулы такого ингибитора образуются и принимают участие в radicalных реакциях два разных промежуточных радикала: феноксильный и аминильный. Определение такой важной энергетической характеристики молекулы, как энергия диссоциации реагирующей связи, для таких соединений представляет собой сложную задачу. Дело в том, что аминофенол имеет две разные по своей природе, но реакционноспособные связи: O–H и N–H, а все существующие методы определения энергий диссоциации связей применимы только для соединений с одной или несколькими эквираакционными связями. Величины  $D_{N-H}$  и  $D_{O-H}$  в гибридном ингибиторе отличаются от  $D_{N-H}$  и  $D_{O-H}$  в аналогичных по строению монофункциональных соединениях из-за взаимного влияния этих групп. Поэтому решение поставленной задачи (оценка индивидуальных связей в гибридном антиоксиданте) требует особых подходов.

В работе [14] для оценки  $D_{N-H}$  и  $D_{O-H}$  в аминофенолах и гидроксихинолинах использован метод МПР в сочетании с кинетическими данными по реакциям пероксильных радикалов с аминофенолами и их алкилзамещенными аналогами. Принималась во внимание следующая закономерность. Введение еще одной группы OH в молекулу фенола в *пара*-положении снижает  $D_{O-H}$  на  $17 \pm 2$  кДж моль<sup>-1</sup>: в феноле C<sub>6</sub>H<sub>5</sub>OH  $D_{O-H} = 369.0$  кДж моль<sup>-1</sup>, а в гидрохиноне  $D_{O-H} = 352.0$  кДж моль<sup>-1</sup> [23]. Такое же снижение  $D_{O-H}$  в феноле вызывает и метоксильная группа в *пара*-положении:  $\Delta D_{O-H} = D_{O-H}(C_6H_5OH) - D_{O-H}(MeOC_6H_4OH) = 16.5$  кДж моль<sup>-1</sup>,  $\Delta D_{O-H} = 16.6$  кДж моль<sup>-1</sup> (метод СНЕ),  $\Delta D_{O-H} = 16.3$  кДж моль<sup>-1</sup> (метод пиролиза замещенных анизолов) [23]. Поэтому было принято:  $D_{N-H}(HOArAmH) = D_{N-H}(ROArAmH)$ , что позволило представить  $k(RO_2^+ + HOArAmH)$  как сумму:

$$k_\Sigma = k_{O-H}(RO_2^+ + H-OArAmH) + k_{N-H}(RO_2^+ + HOArAm-H),$$

и, приняв  $k(RO_2^+ + H-OArAmH) +$

$+ k_{N-H}(RO_2^+ + ROArAm-H)$ , вычислить  $D_{O-H}$  и  $D_{N-H}$  в гибридном антиоксиданте, используя метод МПР. В случае гидроксибензимидазолов использован аналогичный прием: идентификация  $k_{O-H}$  и  $k_{N-H}$  проведена при предположении:

$$k_{O-H}(RO_2^+ + HOArAmH) = k_{O-H}(RO_2^+ + HOArAmR).$$

Результаты представлены в табл. 9.

Полученные данные ( $D_{N-H}$ ) дают возможность оценить энергию стабилизации аминильного радикала  $\Delta E_{RS} = \Delta D_{N-H}$ , которую вносит гидроксильная группа. Ниже в табл. 10 приведено сравнение  $D_{N-H}$  в аминах и гидроксиаминах:

Как мы видим, у дифениламинов энергия стабилизации аминильного радикала, которую вызывает гидроксильная группа, составляет 8.8 кДж моль<sup>-1</sup>, у гидрированных 6-гидроксихинолинов эта энергия составляет  $29.5 \pm 0.7$  кДж моль<sup>-1</sup>.

Серосодержащие антиоксиданты (аминосульфиды) также широко применяются для стабилизации углеводородных топлив и масел [5, 6]. Они обладают комбинированным механизмом антиокислительного действия. С одной стороны, своими N–H- и S–H-связями они реагируют с пероксильными радикалами и обрывают цепи, а с другой, их сульфогруппы разрушают гидропероксиды и, таким образом, снижают скорость генерирования радикалов в окисляющейся системе [7, 9, 10]. Кроме того, продукты их превращения создают на поверхности металла пленку, обладающую антикоррозионными свойствами [5].

В работе [15] была проведена оценка  $D_{N-H}$  и  $D_{S-H}$  в гибридных серосодержащих антиоксидантах. Для таких ингибиторов имеется очень мало данных по энергиям диссоциации, значения  $D_{N-H}$  и  $D_{S-H}$  приведены в табл. 9. Вообще говоря,  $RO_2^+$  могут реагировать как с N–H-, так и S–H-группами аминотиолов. Однако, из сравнения констант скорости реакций  $RO_2^+$  с последними двумя соединениями следует, что реакция  $RO_2^+$  с HSR протекает намного медленнее, чем  $RO_2^+$  с AmH. Вычисленные по кинетическим данным,  $D_{N-H}$  варьируют в диапазоне 366–371 кДж моль<sup>-1</sup>, среднеквадратичная величина для  $D_{N-H}$  в соединени-

**Таблица 8.** Результаты квантово-химического расчета  $D_{\text{N}-\text{H}}$  ( $T = 298.15 \text{ K}$ ) ароматических аминов, в скобках указана разность  $\Delta D_{\text{N}-\text{H}} = \Delta D_{\text{N}-\text{H}}(\text{X}\text{C}_6\text{H}_4\text{NH}_2) - \Delta D_{\text{N}-\text{H}}(\text{PhNH}_2)$  в кДж моль $^{-1}$

Амин	B3LYP [17], кДж моль $^{-1}$	B3LYP [39], кДж моль $^{-1}$	MP2 [39], кДж моль $^{-1}$	B3LYP [40], кДж моль $^{-1}$	Опыт
PhNH <sub>2</sub>	382.8 (0.0)	382.4 (0.0)	382.4 (0.0)	385.8 (0.0)	385.3 (0.0)
	374.9 (-7.9)	380.3 (-2.1)	378.2 (-4.2)	379.0 (-6.8)	379.8 (-5.5)
	365.6 (-17.2)	366.1 (-16.3)	369.0 (-13.4)	368.6 (-17.2)	374.8 (-10.5)
	359.4 (-23.4)	357.3 (-25.1)	364.0 (-18.4)	359.5 (-26.3)	359.8 (-25.5)
	—	390.8 (8.4)	389.9 (7.5)	—	391.7 (6.4)
	395.8 (13.0)	—	—	396.8 (11.0)	399.6 (14.3)
	395.8 (13.0)	392.4 (10.0)	392.4 (10.0)	398.3 (12.5)	396.3 (11.0)
	402.5 (19.7)	399.6 (17.2)	393.3 (10.9)	403.2 (17.4)	403.2 (17.9)
	—	377.4 (-5.0)	378.6 (-3.8)	381.3 (-4.5)	381.5 (-3.8)
	—	380.3 (-2.1)	382.4 (0.0)	383.7 (-2.1)	385.2 (-0.1)
Ph <sub>2</sub> NH	355.2 (0.0)	—	—	—	364.7 (0.0)
	347.3 (-7.9)	—	—	—	358.2 (-6.5)
	335.1 (-20.1)	—	—	—	349.4 (-15.3)
	320.5 (0.0)	—	—	—	340.5 (0.0)

**Таблица 9.** Значения  $D_{O-H}$  и  $D_{N-H}$  ( $T = 298.15$  К) для аминофенолов, гидрокси-гидрохинолинов, 5-гидроксibenзимидазолов и  $D_{S-H}$  и  $D_{N-H}$  для аминотиолов, МИР

Антиоксидант	$D_{O-H}$ ,	$D_{N-H}$ ,	Антиоксидант	$D_{O-H}$ ,	$D_{N-H}$ ,
	кДж моль <sup>-1</sup>	кДж моль <sup>-1</sup>		кДж моль <sup>-1</sup>	кДж моль <sup>-1</sup>
	338.8 339.3	355.9 [14] 253.4 [42]		351.3	362.6 [14]
	335.4	353.6 [14]		346.7	357.3 [14]
	338.0	348.2 [14]		347.7	358.7 [14]
	329.7	383.3 [14]		368.4	356.4 [14]
	324.4	345.3 [14]		362.6	351.3 [14]
	329.4	380.6 [14]		357.3	346.7 [14]
	356.4	368.4 [14]		358.7	347.7 [14]

Таблица 9. Окончание

Антиоксидант	$D_{S-H}$ ,	$D_{N-H}$ ,	Антиоксидант	$D_{S-H}$ ,	$D_{N-H}$ ,
	кДж моль <sup>-1</sup>	кДж моль <sup>-1</sup>		—	—
	360.0	366.4 [15]		360.0	369.1 [15]
	360.0	370.6 [15]		—	369.3 [15]
	360.0	366.0 [15]	—	—	—

Таблица 10. Сравнение  $D_{N-H}$  ( $T = 298.15$  K) в аминах и соответствующих гидроксиаминах

AmH	Ph <sub>2</sub> NH	2-C <sub>10</sub> H <sub>7</sub> NHPh		
$D_{N-H}$ , кДж моль <sup>-1</sup>	364.7	362.4	377.0	375.5
$D_{N-H}$ , кДж моль <sup>-1</sup>	355.9	353.6	348.2	345.3
$\Delta D_{N-H}$ , кДж моль <sup>-1</sup>	8.8	8.8	28.8	30.2

ях, представленных в табл. 9, равна  $368.3 \pm 1.8$  кДж моль<sup>-1</sup>. Это значение близко к значению  $D_{N-H}$ , приведенному в табл. 1 для ближайшего аналога этих соединений, а именно N-метиланилина ( $D_{N-H} = 372.2$  и  $377.8$  кДж моль<sup>-1</sup>).

Таким образом, современный массив ароматических аминов, охарактеризованных  $D_{N-H}$ , охватывает 89 соединений. Разные методы оценки  $D_{N-H}$ , как правило, дают их согласованные значения. Тем не менее, для ряда аминов целесообразна дополнительная проверка значений  $D_{N-H}$ . Важным достижением является оценка энергий диссоциации разных связей (N—H и O—H, N—H и S—H) в гибридных антиоксидантах (19 соединений). Это

открывает возможность оценивать парциальные константы скорости реакций как радикалов с этими связями, так и реакций промежуточных радикалов ингибиторов с самими антиоксидантами и на этой основе строить детальную кинетическую картину процесса ингибирования. Полученные в настоящем обзоре корреляционные соотношения позволяют расширить число аминов, охарактеризованных  $D_{N-H}$ . Особого внимания заслуживают корреляционные соотношения между энергиями стабилизации фениламильных радикалов и амильных радикалов разных классов. В связи с интенсивным развитием квантово-химических методов важную перспективу в предсказании аминов

с низкими значениями  $D_{\text{N}-\text{H}}$  представляет сочетание квантово-химических расчетов с экспериментальными методами.

Работа поддержана грантом в рамках программы № 1 “Теоретическое и экспериментальное изучение природы химической связи и механизмов важнейших химических реакций и процессов” ОХМ РАН.

### СПИСОК ЛИТЕРАТУРЫ

1. *Фойгт И.* Стабилизация синтетических полимеров против действия света и тепла. Л.: Химия, 1972. 544 с.
2. *Денисов Е.Т.* Окисление и деструкция карбоцепных полимеров. Ленинград: Химия, 1990. 288 с.
3. *Пиотровский К.Б., Тарасова З.Б.* Старение и стабилизация синтетических каучуков и вулканизаторов. М.: Химия, 1980.
4. *Pospisil J.* // *Adv. Polym. Sci.* 1995. V. 124. P. 87.
5. *Кулиев А.М.* Химия и технология присадок к маслам и топливам. М.: Химия, 1985. 358 с.
6. *Денисов Е.Т., Ковалев Г.И.* Окисление и стабилизация реактивных топлив. М.: Химия. 1983. 272 с.
7. *Denisov E.T., Afanas'ev I.B.* Oxidation and Antioxidants in Organic Chemistry and Biology. Boca Raton, FL: CRC Press. Taylor and Francis Group, 2005. 981 p.
8. *Howard J.A.* // Absolute rate constants for reactions of oxyl radicals. In *Advances in Free Radical Chemistry*. / Ed. Williams G.H. London: Logos Press, 1972. V. 4. P. 49.
9. *Denisov E.T., Azatyan V.V.* Inhibition of Chain Reactions, London, Gordon and Breach Sci. Publishers, 2000. 337 p.
10. *Denisov E.T., Denisova T.G.* Handbook of Antioxidants. Bond Dissociation Energies, Rate Constants, Activation Energies and Enthalpies of Reactions. Boca Raton, FL: CRC Press, 2000. 289 p.
11. *Luo Y.R.* Handbook of Bond Dissociation Energies in Organic Compounds. Boca Raton, FL: CRC Press, 2003. 380 p.
12. *Денисов Е.Т., Денисова Т.Г.* // Кинетика и катализ. 2014. Т. 55. № 1. С. 30
13. *Денисов Е.Т., Денисова Т.Г.* // Журн. физ. хим. 2014. Т. 88. № 4. С. 629.
14. *Денисов Е.Т., Денисова Т.Г.* // Кинетика и катализ 2013. Т. 54. № 6. С. 717.
15. *Денисов Е.Т., Денисова Т.Г.* // Нефтехимия. 2014. Т. 54. № 2. С. 146. // *Petrol. Chemistry*. 2014. V. 54. № 2. P. 142.
16. *Варламов В.Т., Денисов Е.Т.* // Изв. АН СССР. Сер. хим. 1990. № 4. С. 743.
17. *Pratt D.A., DiLabio G.A., Valgimigli L., Pedulli G.F., Ingold K.U.* // *J. Am. Chem. Soc.* 2002. V. 124. P. 11085.
18. *Lucarini M., Pedrielli P., Pedulli G.F., Valgimigli L., Gligor D., Tordo P.* // *J. Am. Chem. Soc.* 1999. V. 121. 11546.
19. *Варламов В.Т., Денисов Н.Н., Надточенко В.А., Марченко Е.П., Петров И.В., Плеханова Л.Г.* // Кинетика и катализ. 1994. Т. 35. С. 838.
20. *Ефремкина Е.А., Худяков И.В., Денисов Е.Т.* // Хим. физика. 1987. Т. 6. С. 1289.
21. *Денисов Е.Т.* // Успехи химии. 1997. Т. 66. С. 953.
22. *Денисов Е.Т.* // Кинетика и катализ. 1995. Т. 36. С. 381.
23. *Denisov E.T., Denisova T.G.* In: Application of Thermodynamics to Biological and Materials Science / Ed. Mizutani T. Rijeka, Croatia: INTECH, 2011. P. 405.
24. *Rothberg L.J., Simon J.D., Bernstein M., Peters K.S.* // *J. Am. Chem. Soc.* 1983. V. 105. P. 3664.
25. *Simon J.D., Peters K.S.* // *J. Am. Chem. Soc.* 1983. V. 105. P. 5156.
26. *Grabowski J.J., Simon J.D., Peters K.S.* // *J. Am. Chem. Soc.* 1984. V. 106. P. 4615.
27. *Wayner D.D.M., Lusztyk E., Page D., Ingold K.U., Mulder P., Laarhoven L.J.J., Aldrich H.S.* // *J. Am. Chem. Soc.* 1995. V. 117. P. 8737.
28. *Wayner D.D.M., Lusztyk E., Ingold K.U., Mulder P.* // *J. Org. Chem.* 1996. V. 61. P. 6430.
29. *MacFaul P.A., Wayner D.D.M., Ingold K.U.* // *J. Org. Chem.* 1997. V. 62. P. 3413.
30. *Bordwell F.G., Bausch M.* // *J. Am. Chem. Soc.* 1986. V. 108. P. 1979.
31. *Bordwell F.G., Cheng J.-P., Ji G.-Z., Satish A., Zhang X.* // *J. Am. Chem. Soc.* 1991. V. 113. P. 9790.
32. *Bordwell F.G., Cheng J.-P.* // *J. Am. Chem. Soc.* 1991. V. 113. P. 1736.
33. *Bordwell F.G., Zhang X.M., Cheng J.-P.* // *J. Org. Chem.* 1993. V. 58. P. 6410.
34. *Jonsson M., Lind J., Merenyi G., Eriksen T.E.* // *J. Chem. Soc. Trans.* 2. 1995. P. 61.
35. *Jonsson M., Lind J., Eriksen T.E., Merenyi G.* // *J. Am. Chem. Soc.* 1994. V. 116. P. 1423.
36. *Denisov E.T., Denisova T.G., Trepalin S.V., Drozdova T.I.* // Data Base of Oxidation and Antioxidants in Organic Chemistry. Boca Raton, FL: CRC Press. Taylor and Francis Group, 2005.
37. *Henry D.J., Parkinson C.J., Mayer P.M., Radom L.* // *J. Phys. Chem. A.* 2001. V. 105. P. 6750.
38. *Русина И.Ф.* Дисс. соиск. уч. ст. кандидата хим. наук. М.: Институт химической физики РАН. 2011. 137 с.
39. *Song K.-Sh., Liu L., Guo Q.-X.* // *J. Org. Chem.* 2003. V. 68. P. 262.
40. *Gomes J.R.B., Ribeiro da Silva M.D.M.C., Ribeiro da Silva M.A.V.* // *J. Phys. Chem. A.* 2004. V. 108. P. 2119.
41. *Burlakova E.B., Molochkina E.M., Nikiforov G.A.* // *Polym. Resear.* J. 2008. V.1. № 3. P. 361.
42. *Варламов В.Т.* // Изв АН. Сер. хим. 2004. № 2. С. 293.